

第八次作业——AMS 数据分析

赵强

围绕 AMS 宇宙线实验的核心数据分析方法总结了蒙特卡洛模拟 (MC) 的原理与作用、接受度 (Acceptance) 的物理意义与 MC 计算、事件筛选 (Event Selection) 的逻辑与优化、刚度迁移修正 (Unfolding) 的正则化方法等关键内容, 梳理了从数据获取到通量输出的完整分析链条, 并附以一点点个人学习总结。

一、AMS 实验数据分析总体流程

阿尔法磁谱仪 (AMS-02) 安装于国际空间站, 是目前在轨运行的最精密的空间粒子探测器, 自 2011 年以来已采集超过 2000 亿个宇宙线事件。其核心科学目标包括精确测量宇宙线核素能谱、寻找暗物质湮灭信号以及搜寻反物质核。

宇宙线粒子穿过 AMS 的径迹探测器 (Tracker)、飞行时间探测器 (TOF)、穿越辐射探测器 (TRD)、环形成像切伦科夫探测器 (RICH) 和电磁量能器 (ECAL) 时, 仅留下电子信号。数据分析的目标就是从这些含噪声的原始信号中提取真实的物理信息。整个分析流程可分为六个阶段:

(1) 数据获取与解码: 将各子探测器的电子信号转化为数字信号, 利用径迹拟合算法 (基于 Kalman Filter) 重建粒子的动量、电荷和入射方向。

(2) 事件筛选 (Event Selection): 通过径迹质量、电荷一致性、速度匹配、灵敏体积和量能器能量匹配等筛选条件, 排除背景事件和重建失败的坏事例。

(3) 背景修正 (Background Correction): 对核碎裂产生的 Below L1 和 Above L1 (TOI) 两类背景进行估计并扣除, 以获得目标核素的纯净信号。

(4) 效率与接受度修正 (Efficiency & Acceptance Correction): 利用 MC 模拟计算探测器的几何接受度和各子探测器的重建/触发效率。

(5) 刚度迁移修正 (Unfolding): 针对探测器有限分辨率导致的刚度迁移效应, 通过建立响应矩阵并利用正则化反演算法将测量能谱恢复为真实能谱。

(6) 通量计算与误差评估: 将上述各项修正统一应用, 得到微分通量 $d\Phi/dR$, 并综合评估统计误差和各项系统误差。

值得强调的是, 蒙特卡洛 (MC) 模拟并非独立的步骤, 而是贯穿全流程的核心工具——从计算 Acceptance 到建立 Response Matrix, 从估计背景到验证 Selection 效率, MC 为每一环节提供了真实实验无法获取的 "Truth" 对照信息 (图 1)。

Figure 1: AMS Cosmic Ray Data Analysis Overall Flow
(图1 AMS宇宙线数据分析总体流程)

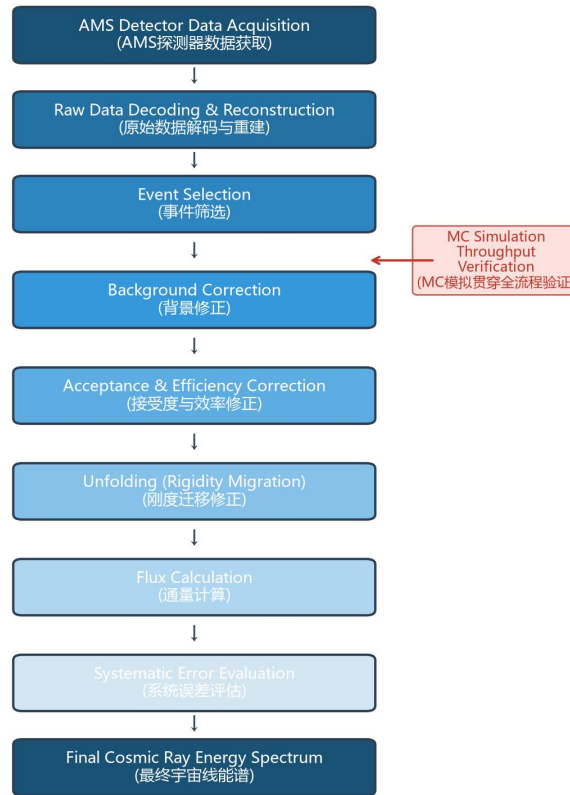


图1 AMS 宇宙线数据分析总体流程图

二、蒙特卡洛模拟（MC）的原理与作用

2.1 基本原理与数学思想

蒙特卡洛方法是一种以概率统计理论为基础的数值计算方法，其数学基础是大数定律（Law of Large Numbers）和中心极限定理（Central Limit Theorem）。大数定律保证了当随机试验次数 $N \rightarrow \infty$ 时，样本均值依概率收敛于总体期望值。中心极限定理则给出了估计误差的收敛速度：统计误差与 $1/\sqrt{N}$ 成正比。因此，要获得两位有效数字的精度，需要约 10^4 个 MC 样本；三位有效数字则需要约 10^6 个样本——这正是 AMS 实验中 MC 模拟需要产生巨量粒子（通常为数百万到数十亿）的根本原因。

在 AMS 实践中，MC 模拟基于 GEANT4 软件包实现。其核心流程为：首先根据宇宙线物理模型（各向同性入射假设及已知能谱模型）随机抽样产生大量虚拟粒子（包含种类、入射方向、能量等

信息)；然后利用 GEANT4 模拟粒子在 AMS 探测器几何结构中的全部物理过程——电离能损 (Bethe-Bloch 公式)、多次散射、核碎裂、电磁簇射和切伦科夫辐射等；最后模拟电子学响应和信号重建算法，得到与真实数据格式完全一致的“重建数据”。

MC 的核心优势在于同时保留了“生成水平”(Generator-level, Truth)和“重建水平”(Reconstruction-level)两组信息。这种双轨对照使得我们能够定量评估探测器效应——分辨率、效率和迁移——对物理测量造成的“扭曲”。真实实验中，我们只能观测到重建水平的物理量而永远无法获知生成水平的真值，这正是 MC 不可替代的根本原因。

2.2 MC 在 AMS 中的五大核心作用

第一，计算 Acceptance: 通过模拟各向同性入射粒子并统计被成功探测的比例 (N_{sel}/N_{gen})，精确计算探测器有效接受度。

第二，计算探测器效率: 通过对比 Truth 与 Reconstruction 水平的信息，逐 Bin 计算出 TRD、TOF、Tracker 等各子系统的触发和重建效率。

第三，估计不可测背景: Above L1 (TO1) 背景因缺乏上游探测器测量而无法从数据中直接扣除，只能依赖 MC。

第四，建立响应矩阵: MC 通过匹配 Truth 和 Reconstruction 的刚度值，构建迁移概率矩阵，为 Unfolding 提供必要输入。

第五，验证分析流程 (Closure Test): 研究者先用 MC“伪数据”跑通整个分析链，检验能否恢复输入的 Truth 信息，只有通过闭合检验的流程才能应用于真实数据。

可将 MC 理解为“在计算机中重复数百万次的 AMS 实验”——它弥补了真实实验的信息不对称，是现代高能物理数据分析中不可替代的核心工具 (图 2)。

Figure 2: Monte Carlo Simulation Principle and Applications in AMS
(图2 蒙特卡洛模拟原理及其在AMS中的应用)

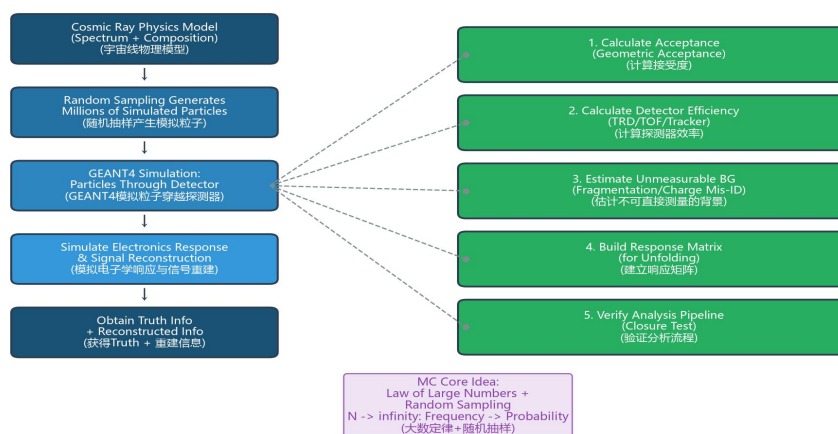


图2 蒙特卡洛模拟原理及其在 AMS 中的五大应用

三、Acceptance（接受度）的物理意义、推导与 MC 计算

3.1 物理意义与几何因子

Acceptance（接受度）是综合描述探测器“看见”并“保留”粒子能力的物理量，量纲为 $\text{m}^2 \cdot \text{sr}$ 。它同时包含了几何接收范围和探测/重建效率两方面的信息。从通量测量的基本公式出发： $\Phi = dN / (dA \cdot d\Omega \cdot dt \cdot dR)$ ，其中 Φ 为微分通量， dN 为探测粒子数， dA 为有效面积元， $d\Omega$ 为立体角元， dt 为时间元， dR 为刚度区间宽度。实测计数率与真实通量的关系为：

$$N = \Phi \times A_{\text{eff}} \times T \times \Delta R$$

移项可得通量表达式： $\Phi = N / (A_{\text{eff}} \times T \times \Delta R)$ 。Acceptance A_{eff} 直接决定最终通量值——若 A_{eff} 存在偏差，将直接导致系统误差。AMS 对核素通量的测量精度要求达到百分之几，因此 Acceptance 的计算必须更加精确。

几何因子（Geometric Factor, G ）是 Acceptance 的基础概念。理想探测器（效率 100%）的几何因子定义为： $G = \int \int dA \cdot d\Omega$ 。对于平面探测器，各向同性入射下有 $G_{\text{plane}} = A_{\text{plane}} \times \pi$ 。AMS Tracker 面积约 0.5 m^2 ，理想几何因子约为 $0.5 \pi \approx 1.57 \text{ m}^2 \cdot \text{sr}$ 。但实际 Acceptance 远小于此值——触发条件要求粒子同时击中 TOF 上下层及 Tracker 多层硅微条，且径迹重建须满足质量标准，使有效 Acceptance 仅为理想几何因子的几分之一。

3.2 MC 计算过程与公式推导

真实实验中无法知晓有多少粒子“本应”被探测到但实际错过了，因此 Acceptance 必须依赖 MC 计算。其基本思想：在 MC 中向探测器注入已知通量的粒子，统计经过完整 Event Selection 后存活的粒子数，反向推算 Acceptance。

MC 模拟中各向同性产生 N_{gen} 个粒子（ 4π 球面均匀分布），每个粒子携带随机刚度 R 、入射方向（ θ , ϕ ）和电荷 Z 。经 GEANT4 模拟穿越 AMS 后，经历与真实数据完全相同的 Event Selection 流程，最终有 N_{sel} 个粒子存活。有效 Acceptance 的计算公式为：

$$A_{\text{eff}} = A_{\text{plane}} \times \frac{N_{\text{sel}}}{N_{\text{gen}}}$$

$$A_{\text{eff}}(R, Z) = A_{\text{plane}} \times N_{\text{sel}}(R, Z) / N_{\text{gen}}(R, Z)$$

推导逻辑：各向同性入射下，入射通量 $\Phi_{\text{MC}} \propto N_{\text{gen}}/A_{\text{plane}}$ ，经筛选后的“测量通量” $\Phi_{\text{sel}} \propto N_{\text{sel}}/A_{\text{eff}}$ 。MC 中已知“真实”通量，故 $A_{\text{eff}} = A_{\text{plane}} \times (N_{\text{sel}}/N_{\text{gen}})$ ，即有效面积 = 几何面积 \times 通过率（Survival Ratio）。

实际分析中， $N_{\text{sel}}/N_{\text{gen}}$ 的比值受粒子种类、刚度、入射方向和探测器工作状态等多因素影响，因此 Acceptance 作为 (R, Z) 的二维函数逐 Bin 计算。计算精度取决于 MC 统计量：

$N_{\text{sel}}/N_{\text{gen}}$ 的统计误差 $\propto 1/\sqrt{N_{\text{gen}}}$ ，AMS 通常要求每 Bin 至少 10^4 量级的 MC 事件以确保

Acceptance 的统计精度。对于稀有核素，MC 统计量常成为计算精度的瓶颈，需采用平滑 (Smoothing) 或参数化 (Parameterization) 方法来减小统计涨落。

此外，MC 中强子相互作用模型 (如 FTFP_BERT、QGSP_BERT 等) 的系统误差也会传递到 Acceptance 的计算中。AMS 合作组通常采用多种独立模型分别计算 Acceptance，并将不同模型结果的差异作为系统不确定度的一项贡献 (图 3)。

Figure 3: Acceptance Calculation via Monte Carlo
(图3 通过MC计算接受度的流程)

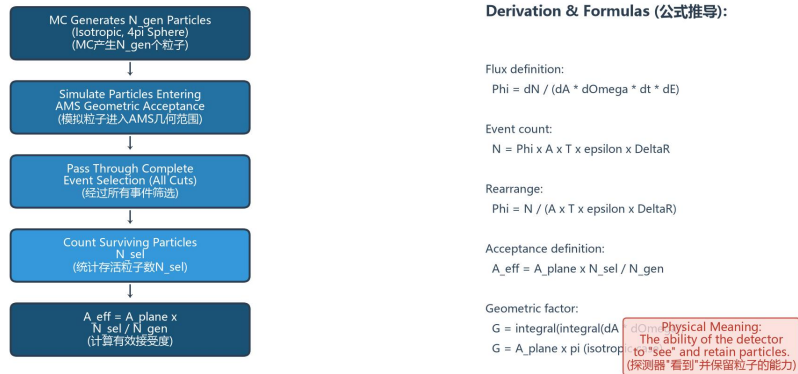


图3 通过MC计算Acceptance的完整流程及公式推导

四、Event Selection (事件筛选) 的逻辑与优化

4.1 事件筛选的必要性

AMS 每秒接收数十万次触发，但绝大多数触发事件不适合直接用于通量测量。原始样本中包含四类“不合格”事件：一是径迹重建失败——低能粒子因多次散射严重或击中 Tracker 边缘，导致 Kalman Filter 拟合无法收敛 (χ^2/dof 极大)，重建动量存在严重偏差。二是核碎裂背景——高能核子在探测器材料中碎裂产生次级核子 (如碳→硼+碎片)，若被误认为目标核素将导致通量测量的系统偏差。以硼/碳比 (B/C) 测量为例，碳碎裂产生的次级硼约占测量硼通量的 10%~30%。三是电荷误判——TOF 和 Tracker 的电荷分辨率有限 ($\sigma_Z \sim 0.1-0.3$ 电荷单位)，相邻电荷核素 (如 Be 和 B) 可能重叠。四是噪声与电子学 δ 电子产生的虚假击中。

如果不加筛选地直接统计，上述背景将对通量测量造成严重污染。Event Selection 的核心目标是在保留目标信号的前提下，最大限度地排除背景和低质量事件，提高样本纯度 (Purity = $S/(S+B)$, S 为信号数, B 为背景数)。

4.2 典型筛选条件

AMS 实验针对不同核素施加一套标准化的 Selection 条件：（1）径迹质量筛选（Track Quality Cut）——要求 $\chi^2/\text{dof} < \text{阈值}$ （如 <10 ），且径迹跨越的 Tracker 层数 ≥ 5 层，确保动量测量分辨率。（2）电荷一致性检验——要求不同探测器（TOF、Tracker、RICH）给出的电荷值一致（ $|Z_{\text{TOF}} - Z_{\text{Tracker}}| < 0.5$ ），有效排除碎裂背景。（3）速度-动量一致性——利用 $\beta = v/c = RZ/\sqrt{(RZ)^2+(mc/e)^2}$ 的关系，要求测量 β 与预期 β 一致，排除动量异常事件。（4）灵敏体积筛选——要求所有击中点距 Tracker 边缘 $>2 \text{ mm}$ ，避免边缘效应导致的动量分辨率退化。（5）量能器能量匹配——对于 e^\pm 分析，要求 $E/p \approx 1$ 以区分电子与强子。

由于各 Selection 条件之间存在相关性（如径迹质量与灵敏体积正相关），评估总效率时不能简单相乘，必须通过 MC 模拟评估串联组合的整体效率（图 4）。

Figure 4: Event Selection Flow and Optimization Principle
(图4 事件筛选流程与优化原则)

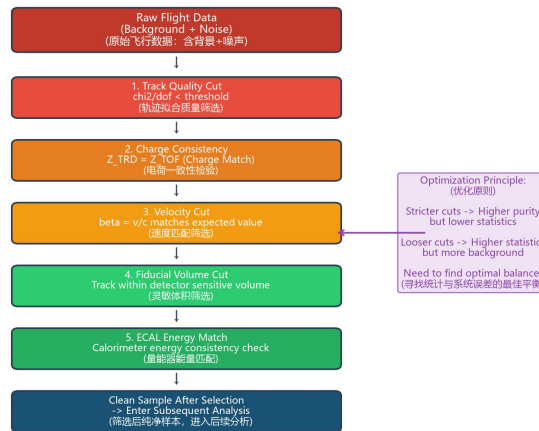


图4 Event Selection 典型筛选流程与优化平衡原则

4.3 统计-系统误差的优化平衡

Event Selection 面临根本性的权衡：筛选越严格，纯度越高但统计量越低（统计误差 \uparrow ）；筛选越宽松，统计量越高但背景污染越重（系统误差 \uparrow ）。AMS 实验通常定义品质因子（Figure of Merit, FoM）来量化这一权衡，如 $\text{FoM} = S^2/(S+B) = S \times \epsilon_{\text{sel}}$ （等效于信号显著性的平方除以总计数），通过扫描不同 Cut 阈值选择使 FoM 最大化的方案。

此外，现代 AMS 分析还广泛应用多变量分析方法（MVA），如 Boosted Decision Trees（BDT）和深度神经网络（DNN），同时利用多个变量的信息最优分离信号与背景。MVA 方法比传统矩形 Cut 在同等信号效率下实现更好的背景抑制，但需要更仔细地评估训练中的潜在偏差。

背景修正 (Background Correction) 作为 Event Selection 的重要补充环节, 主要处理两类核碎裂背景: Below L1 背景 (碎裂发生在 TRD/Upper TOF 以下, 可利用 L1 电荷模板拟合估计) 和 Above L1/TOI 背景 (碎裂发生在 Tracker L1 以上, 完全依赖 MC 模拟+Data/MC 归一化修正)。前者因有内层探测器约束, 不确定性较小; 后者完全依赖 MC, 是系统误差的主要来源之一

五、Unfolding (刚度迁移修正) 的原理与方法

5.1 刚度迁移的物理根源

AMS 动量分辨率虽已相当优异 (高刚度区 $\Delta R/R \sim 10\text{-}20\%$), 但仍然有限。有限分辨率导致一个真实刚度为 R_{true} 的粒子, 其重建刚度 R_{meas} 可能因测量误差而偏离真实值, 从而落入错误的刚度 Bin, 这一现象称为“刚度迁移” (Rigidity Migration)。

刚度迁移的主要物理根源包括: Tracker 硅微条位置测量误差 ($\sim 10 \mu\text{m}$ 量级); 粒子在探测器材料中的多次库仑散射 (Multiple Coulomb Scattering); 以及低能粒子因电离能损较大而能量发生显著变化。刚度越低, 多次散射越强, 迁移效应越显著——对于刚度 $< 10 \text{ GV}$ 的质子, 迁移矩阵非对角元素可占相当大的比例。

若不做 Unfolding 修正, 迁移的“展宽”效应 (Smearing) 将平滑掉测量能谱的精细结构 (如暗物质信号的谱形特征), 且对于陡降幂律谱 ($d\Phi/dR \propto R^{-2.7}$), 因高刚度 Bin 向低刚度 Bin 的净迁移, 测量能谱会产生系统性偏差。

5.2 响应矩阵与不适定反问题

Unfolding 基于线性模型: 设真实能谱向量 T (T_j = 真实 Bin j 的粒子数), 测量能谱向量 M (M_i = 测量 Bin i 的粒子数), 则 $M_i = \sum_j R_{ij} \times T_j$, 矩阵形式为 $M = R \times T$ 。响应矩阵 $R_{ij} = P(\text{测量 Bin } i \mid \text{真实 Bin } j)$ 由 MC 模拟导出——遍历 MC 粒子, 填充 Truth vs. Reco 二维直方图并逐 Truth 列归一化。对角元素表示正确重建概率, 非对角元素为迁移概率。

Unfolding 目标是求解反问题 $T = R^{-1}M$ 。然而直接矩阵求逆在实践中不可行——响应矩阵通常是病态的 (Ill-conditioned), 小特征值对应的分量在求逆时被剧烈放大, 使 M 中微小的统计涨落放大为 T 中巨大的非物理振荡。这就是经典的“反问题不适定性” (Ill-posed Inverse Problem)。

5.3 正则化求解策略

为解决不适定性, Unfolding 必须引入正则化 (Regularization)。AMS 最常用的算法包括:

- (1) 迭代贝叶斯方法 (D'Agostini 方法): 基于贝叶斯定理, 利用响应矩阵和先验能谱迭代更新估计。第 $k+1$ 次迭代 $T_j^{\{(k+1)\}} = \sum_i M_i \times P^{\{(k)\}}(j|i)$, 其中 $P^{\{(k)\}}(j|i) = R_{ij} \times T_j^{\{(k)\}} / \sum_m R_{im} \times T_m^{\{(k)\}}$ 。通常取 MC Truth 能谱为初始先验。迭代次数是关键正则

化参数——太少则偏向先验假设，太多则统计涨落放大。（2）SVD 方法（Höcker-Kartvelishvili）：将 R 进行奇异值分解 $R = U\Sigma V^T$ ，通过截断小奇异值模式实现正则化。

AMS 合作组通常采用多种 Unfolding 方法独立计算，并将不同方法结果的差异作为系统不确定度的一部分。此外，响应矩阵的精确性依赖于 MC 模拟的物理模型精度——强子相互作用模型（如 FTFP_BERT、QGSP_BERT）在描述核碎裂截面方面的不确定性会通过响应矩阵传递到最终的 Unfolding 结果中。因此，Unfolding 的系统误差通常包括正则化偏差、模型依赖偏差和统计涨落效应等多个贡献项。这种严谨的多方案交叉验证策略，体现了高能物理实验对系统误差评估的一丝不苟态度。

六、学习总结与感悟

通过本次科创课程，我对以 AMS 为代表的太空粒子物理实验的数据分析方法论有了系统而深刻的认识。以下总结我的主要学习收获：

第一，深刻理解“实验获取的并非物理量本身，而是原始数据”这一核心概念。AMS 探测器中的硅微条和光电倍增管输出的是电压/电流信号，要从电子信号反推出宇宙线粒子的种类、能量和入射方向，需要经过信号重建、粒子鉴别、效率修正和反卷积等一系列复杂步骤。这让我认识到真实实验数据分析与“理想探测器”模型之间的巨大差距。

第二，对蒙特卡洛模拟在高能物理中的核心地位有了全新认识。课程学习让我意识到，MC 实际上是 AMS 数据分析的“骨架”——Acceptance 依靠 MC 计算，Above L1 背景完全依赖 MC，Unfolding 的 Response Matrix 也只能由 MC 提供。MC 通过提供 Truth-Reconstruction 对照信息，弥补了真实实验“只能看到探测器输出”的根本局限。可以说，没有 MC 就没有现代高能物理的精确测量。

第三，体会到数据分析中“权衡”的普遍性。Event Selection 中统计误差与系统误差的权衡、Unfolding 中偏差与方差的权衡（Bias-Variance Tradeoff）、迭代贝叶斯方法中迭代次数的权衡——这些都体现了物理学中追求精确与承认局限的统一。最优方案往往不存在绝对“正确答案”，而需要在具体分析目标和实验约束下寻找合理折中。

第四，认识到系统误差评估的重要性。AMS 实验的许多分析步骤——MC 强子模型的选择、Unfolding 算法的选择、正则化参数的确定——都含有一定程度的任意性。科学地评估这些“任意性”带来的系统不确定度，并将不同方法的差异如实报告，是确保结果可靠性的关键。

最后，本次课程让我看到了课堂理论如何在国际大科学装置中落地。AMS 实验汇集了全球十几个国家的数百名科学家和工程师，从硬件设计到软件框架，从 MC 模拟到最终数据分析，每一个环节都经过了反复推敲和交叉验证。这种“大科学”（Big Science）的研究范式——大规模国际合作、标准化分析流程、盲分析策略、多方法交叉验证——对确保物理结果的可靠性和可重现性至关重要。作为本科生，能通过课程了解这样的数据分析方法论，极大地拓宽了学术视野，激发了我对粒子物理和高能天体物理方向的浓厚兴趣，也为未来可能的科研工作打下了方法论基础。